

§2 Неприводимые представления $H_n(q)$

и некоторые элементы Тьюса-Мэрри.

(1)

Продолжение.

Нам остается убедиться, что

- * На пространствах $V_x, \lambda + n$ генераторно реализуются представления $H_n(q)$
- * Эти представления неприводимы

Для проверки первого утверждения заметим, что проверки (12), (14) из прошлой лекции задают действие артикульных генераторов g_i в базисе $\{v_\alpha\}$ пространства V_x .
Следует проверить выполнение соотношений на артикульных генераторах.

Введем уточненное обозначение:

Def Бакстеризованный генератор $g_i(x)$:

$$g_i(x) := g_i - \frac{q^x}{[x]_q^{-1}}, \quad [x]_q := \frac{q^x - q^{-x}}{q - q^{-1}} \quad (26)$$

q -числа Эйлера

Здесь $x \in \mathbb{Z} \setminus \{0\}$.

Rem: Вместо параметра x параметр $u = q^x$.

В таком случае $u \in \mathbb{P} \setminus \{0\}$

И называют "суперантическим параметром" u

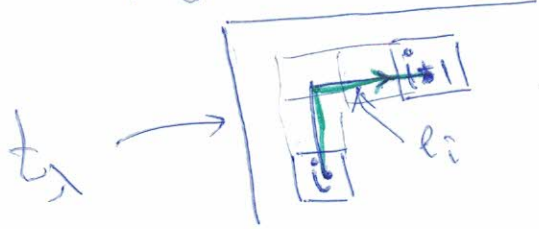
Def

Длиной ориентированного крюка между клетками \boxed{i} и $\boxed{i+1}$ стандартной таблицы Юнга называется число $l_i \in \mathbb{Z} \setminus \{0\}$:

$$\boxed{\frac{a_{i+1}}{a_i} = q^{2l_i}} \quad (27)$$

где a_i, a_{i+1} — содержание клеток \boxed{i} ; $\boxed{i+1}$ в таблице.

На рисунке l_i — длина позиции линии, измеренная в единицах размера клеток $\boxed{*}$:



$l_i > 0$, если крюк ориентирован так: \nearrow , $l_i < 0$, если крюк ориентирован так: \downarrow

В таких обозначениях мы можем переписать формулы (12), (14) так:

$$(14) \rightarrow \boxed{v_{0,02} = \frac{[l_i]_q}{[l_{i+1}]_q} g_i(l_i) v_2, \text{ если } l_i \neq \pm 1.} \quad (28)$$

(12) \mapsto Если $l_i = \pm 1$, то $v_{0,02}$ — не стандартная таблица, т. к. клетки \boxed{i} и $\boxed{i+1}$ расположены

так $\boxed{i+1}$ при $l_i = 1$

или так \boxed{i} при $l_i = -1$

$$\boxed{g_i(\pm 1) v_2 = 0 \text{ или } g_i v_2 = \pm q^{\pm 1} v_2 \text{ при } l_i = \pm 1} \quad (29)$$

Здесь в (28) мы выбрали удобную относительную корень — 3
 ровну базисных векторов v_α и $v_{\alpha+1}$, составив
 в формуле член $\frac{[l_i]_q}{[l_i+1]_q} \neq 0$ (см. наши условия)

Утверждение { Банaxterизованное генераторы удов-
 льствует соотношениям:

$$\left\{ \begin{array}{l} g_i(x)g_k(y) = g_k(y)g_i(x) \quad \forall |i-k| > 1 \quad (30a) \\ g_i(x)g_i(-x) = \frac{[x-1]_q[x+1]_q}{[x]_q^2} y = \frac{[x]_q^2 - 1}{[x]_q^2} 1 \quad (\text{унитарность}) \\ g_i(x)g_{i+1}(x+y)g_i(y) = g_{i+1}(y)g_i(x+y)g_{i+1}(x) \quad (\text{уравнение Ди-Банaxterа}) \end{array} \right.$$

Надор этих соотношений при любых заданных базисных
 значениях параметров $x, y \neq 0$ эквивалентен надору
 определяющих соотношений на арифметика генератора $H_n(q)$

Dok-Bd: Коммутативность (30a) очевидна.

Проверим соотношение унитарности (30b):

$$g_i(x)g_i(-x) = \left(g_i - \frac{q^x}{[x]_q} 1\right) \left(g_i + \frac{q^{-x}}{[x]_q} 1\right) = g_i^2 - \frac{q^x - q^{-x}}{[x]_q} g_i - \frac{1}{[x]_q^2} 1 = \\ = \left(1 - \frac{1}{[x]_q^2}\right) 1$$

Видно, что соотношение унитарности при \neq орт. x неяв-
 ляется соотношению текке: $g_i^2 = 1 + (q - q^{-1})g_i$.

Проверка эквивалентности уравнений Ди-Банaxterа
 соотношениям исс (при условии, что соотношения коммутатив-
 ности и текке выполняются) — задача 2-го листка

Следствие: Формулы (28), (29) задачи 4
представление $M_n(q)$ на базисных векторах V_α

пространства V_λ (α -стандартное габариты диаграммы $\lambda + \eta$).

Доказ.: Достаточно проверить выполнение соотношения (30a-b) на векторах V_α при специальном подборе параметрах.

Пусть индекс α вектора V_α имеет вид:

Обозначим l_a — длину крюка между ячейками $i+1$ и $i+2$

l_b — — — между ячейками $i+1$ и $i+2$

$$l_c = l_a + l_b$$

В соответствии с (28) имеем:

$$g_i(l_a) V_\alpha = \frac{[l_{a+1}]_q}{[l_a]_q} V_{\sigma_{i+1}^{\circ} \sigma_i^{\circ} \alpha} \quad (31a)$$

$$g_{i+1}(l_c) V_{\sigma_i^{\circ} \alpha} = \frac{[l_{c+1}]_q}{[l_c]_q} V_{\sigma_{i+1}^{\circ} \sigma_i^{\circ} \alpha}$$

$$g_i(l_b) V_{\sigma_{i+1}^{\circ} \sigma_i^{\circ} \alpha} = \frac{[l_{b+1}]_q}{[l_b]_q} V_{\sigma_i^{\circ} \sigma_{i+1}^{\circ} \alpha}$$

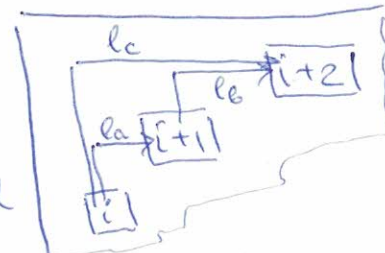
$$g_{i+1}(l_b) V_\alpha = \frac{[l_{b+1}]_q}{[l_b]_q} V_{\sigma_{i+1}^{\circ} \sigma_i^{\circ} \alpha}$$

$$g_i(l_c) V_{\sigma_{i+1}^{\circ} \sigma_i^{\circ} \alpha} = \frac{[l_{c+1}]_q}{[l_c]_q} V_{\sigma_i^{\circ} \sigma_{i+1}^{\circ} \alpha}$$

$$g_{i+1}(l_a) V_{\sigma_i^{\circ} \sigma_{i+1}^{\circ} \alpha} = \frac{[l_{a+1}]_q}{[l_a]_q} V_{\sigma_{i+1}^{\circ} \sigma_i^{\circ} \sigma_{i+1}^{\circ} \alpha}$$

Так как $\sigma_i^{\circ} \sigma_{i+1}^{\circ} \sigma_i^{\circ} \alpha = \sigma_{i+1}^{\circ} \sigma_i^{\circ} \sigma_{i+1}^{\circ} \alpha =$

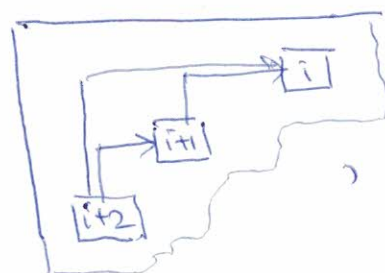
заключаем: $(g_i(l_b) g_{i+1}(l_a+l_b) g_i(l_a) - g_{i+1}(l_a) g_i(l_a+l_b) g_{i+1}(l_b)) V_\alpha = 0$



$$q^{2l_a} = \frac{a_{i+1}}{a_i}$$

$$q^{2l_b} = \frac{a_{i+2}}{a_{i+1}}$$

$$q^{2l_c} = \frac{a_{i+2}}{a_i}$$



Таким образом мы доказали выполнение уравнений Гюза-Баумстера на большинстве базисных векторов V_λ — на тех, в которых клетки \boxed{i} , $\boxed{i+1}$ и $\boxed{i+2}$ не являются одной строке.
(5)

Две оставшиеся векторы проверка происходит с использованием соотношений (29).

Для проверки соотношений унитарности используется
(31) (см. стр4) вместе с

$$g_i(-l_a)V_{\sigma;02} = \frac{[-l_a+1]_q}{[-l_a]_q} V_\lambda = \frac{[l_a-1]_q}{[l_a]_q} V_\lambda - \text{это соотв.} \quad (31b)$$

уравнение — результат (28) для $V_{\sigma;02}$.

$$\text{Заключаем: } \left(g_i(-l_a)g_i(l_a) - \frac{[l_a+1]_q[l_a-1]_q}{[l_a]_q^2} \right) V_\lambda = 0$$

для тех векторов V_λ , в которых клетки \boxed{i} и $\boxed{i+1}$ не являются одной строке или одной строке.

Две оставшиеся векторы при проверке соотношений унитарности получим (29)

Осталось доказать неприводимость представлений V_λ .

Мы это сделаем, проверив что $\mathcal{P}_{V_\lambda} \cong \text{End}(V_\lambda)$,

а точнее, построив изображение всех матричных единиц $E_{\alpha\beta}$ — базисных векторов $\text{End}(V_\lambda)$ — в представлении \mathcal{P}_{V_λ} .

§ 3

То^ждество в подалгебре Юниса-Мэрри.

6

Матричное единство.

Подалгебра элементов JM коммюницирует \Rightarrow генераторов J_i , $i=1 \dots n$, удовлетворяют некоторым коммюницирующим тождествам, которые и характеризуют подалгебру JM .

Мы рассмотрим действие элементов J_i в пространстве

$$V_n = \bigoplus_{\lambda \vdash n} V_\lambda$$

Если это уединено, затем, что $J_i V_n$ реализуется точное представление $H_n(q)$, т.е., что $\rho: H_n(q) \rightarrow V_n$ имеет ядро $\text{Ker } \rho = 0$, то коммюницирующие соотношения для J_i , действующих на V_n окажутся тождественно выполняющими в $H_n(q)$.

Будем строить соотношения индуктивно по n , и рисовать картинки соотношений на языке диаграмм Юниса

В $H_1(q)$:

$$J_1 - 1 = 0$$

$$\Leftrightarrow \begin{array}{c} \square \\ \diagup \quad \diagdown \end{array}$$

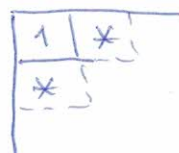
Клетка \square , соответствующая J_1 , попадает в угол квадрата с содержанием $a_1 = 1$

B $H_2(q)$:

$$(J_2 - q^2 I)(J_2 - \bar{q}^2 I) = 0 \quad (32a)$$

↓
— это соотношение Гекке.

Клетку $\boxed{\text{II}}$ в ячей с клеткой $\boxed{\text{I}}$ мы можем разместить в одном из 2-х мест отличных звездочки:



Содержание этих мест $a_2 = q^2$ и $a_2 = \bar{q}^2$.

Прежде, чем перейти к рассмотрению $H_3(q)$, используем (32a) для построения идеалов в $H_2(q)$

$$P_{\boxed{\text{I}} \times \boxed{\text{II}}} := \frac{J_2 - q^2 I}{q^2 - q^2}, \quad P_{\boxed{\text{I}} \times \boxed{\text{II}}} := \frac{J_2 - \bar{q}^2}{q^2 - q^2} \quad (33)$$

Крестик показывает, какой фактор из (32a) мы сохранили в правой части

В силу (32a) они обладают двойственностью ортогональности, и образуют пирсовское расположение единиц в $H_2(q)$:

$$\begin{aligned} P_{\boxed{\text{I}}}^2 &= P_{\boxed{\text{I}}}, \quad P_{\boxed{\text{I}} \times \boxed{\text{II}}}^2 = P_{\boxed{\text{I}} \times \boxed{\text{II}}}, \quad P_{\boxed{\text{I}}} P_{\boxed{\text{I}} \times \boxed{\text{II}}} = P_{\boxed{\text{I}} \times \boxed{\text{II}}} P_{\boxed{\text{I}}} = 0 \\ P_{\boxed{\text{I}}} + P_{\boxed{\text{I}} \times \boxed{\text{II}}} &= 1 \end{aligned} \quad (32b)$$

Набор соотношений (32b) эквивалентен (32a), при условии, что собственное значение J_2 в (32a) все различны: $q^2 \neq \bar{q}^2$, т.е. $|q^4 \neq 1|$ (а это наше ограничение на q при рассмотрении $H_2(q)$).

Составление тождеству (32a) идеалов (33) с соотношениями (32b) — стандартная процедура в ассоциативных алгебрах, при условии, что в (32a) нет одинаковых факторов.

(8)

B H₃(q): Здесь мы переходим к построению
соотношений не в амбре H₃(q), а в
ее образе при действии на V₃ = V_{II} ⊕ V_{III} ⊕ V_{IV}

В зависимости от уже имеющейся конфигурации
клеток $\boxed{1}$ и $\boxed{2}$, мы можем вынуть клетку $\boxed{3}$ в
следующие позиции:

$$\begin{array}{c} \boxed{1} \boxed{2} \boxed{*} \\ \boxed{*} \end{array} \quad \text{и} \quad \begin{array}{c} \boxed{1} \boxed{*} \\ \boxed{2} \end{array} \quad \boxed{*}$$

Заметим, что $P_{\boxed{12}} \cup P_{\boxed{3}} \in H_2(q) \subset H_3(q)$ —
проекторы на подпространства векторов в базисе V_3 ,
индексы которых имеют вид $\boxed{12\dots}$ и $\boxed{\dots 2\dots}$, соответственно.

Поэтому на V_3 имеет место:

$$\left\{ \begin{array}{l} P_{\boxed{12}} (J_3 - q^4)(J_3 - \bar{q}^2) = 0 \quad (\text{на } V_3) \\ P_{\boxed{3}} (J_3 - q^2)(J_3 - \bar{q}^4) = 0 \end{array} \right. \quad (34a)$$

Он можно переписать явно в терминах J_2, J_3 :

$$\left\{ \begin{array}{l} (J_2 - \bar{q}^2)(J_3 - q^4)(J_3 - \bar{q}^2) = 0 \\ (J_2 - q^2)(J_3 - q^2)(J_3 - \bar{q}^4) = 0 \end{array} \right. \quad (\text{на } V_3) \quad (34b)$$

Тогда (34a) (или (34b)) будем означать
составляющую изоленты:

$$P_{\boxed{\begin{smallmatrix} 1 & 2 & 3 \\ \times \end{smallmatrix}}} := P_{\boxed{\begin{smallmatrix} 1 & 2 \end{smallmatrix}}} \frac{(J_2 - q^{-2})}{q^4 - q^{-2}} ; \quad P_{\boxed{\begin{smallmatrix} 1 & 2 & \times \\ 3 \end{smallmatrix}}} := P_{\boxed{\begin{smallmatrix} 1 & 2 \end{smallmatrix}}} \frac{(J_2 - q^4)}{q^{-2} - q^4} ; \quad (9)$$

$$P_{\boxed{\begin{smallmatrix} 1 & \times \\ 2 & 3 \end{smallmatrix}}} := P_{\boxed{\begin{smallmatrix} 1 \\ 2 \end{smallmatrix}}} \frac{(J_2 - q^2)}{q^{-4} - q^2} ; \quad P_{\boxed{\begin{smallmatrix} 1 & 3 \\ 2 & \times \end{smallmatrix}}} := P_{\boxed{\begin{smallmatrix} 1 \\ 2 \end{smallmatrix}}} \frac{(J_2 - q^{-4})}{q^2 - q^{-4}} . \quad (35)$$

при условии, что все факторы в (34a,b) различны, т.е., $q^4 \neq q^{-2} \Leftrightarrow q^6 \neq 1$ (в добавок к уже наложенному условию $q^4 \neq 1$).

С использованием идеалитетов (35) соотношения (34a,b) переписываются в эквивалентной форме:

$$\boxed{P_\alpha \cdot P_\beta = \delta_{\alpha\beta} P_\alpha}, \text{ где } \alpha \in \{\boxed{\begin{smallmatrix} 1 \\ 2 \\ 3 \end{smallmatrix}}, \boxed{\begin{smallmatrix} 1 & 2 & 3 \end{smallmatrix}}, \boxed{\begin{smallmatrix} 1 & 2 \\ 3 \end{smallmatrix}}, \boxed{\begin{smallmatrix} 1 & 3 \\ 2 \end{smallmatrix}}\} \quad (\text{ибо } \nabla_3)$$

$$P_{\boxed{\begin{smallmatrix} 1 & 2 & 3 \end{smallmatrix}}} + P_{\boxed{\begin{smallmatrix} 1 \\ 2 \\ 3 \end{smallmatrix}}} = P_{\boxed{\begin{smallmatrix} 1 & 2 \end{smallmatrix}}}, P_{\boxed{\begin{smallmatrix} 1 & 2 \\ 3 \end{smallmatrix}}} + P_{\boxed{\begin{smallmatrix} 1 & 3 \\ 2 \end{smallmatrix}}} = P_{\boxed{\begin{smallmatrix} 1 \\ 2 \end{smallmatrix}}} \Rightarrow \boxed{\sum_\alpha P_\alpha = 1} \quad (36)$$

Заметим также, что P_α является "собственными векторами" элементов J_i : в силу того что (32a), (34)

имеем

$$\boxed{J_i P_\alpha = a_i P_\alpha = P_\alpha J_i}, \quad (\text{ибо } \nabla_3) \quad (37)$$

где a_i - содержание клетки \boxed{i} в стандартной таблице α

Вспомним, что на базисных векторах $\nabla_2 \in \nabla_3$ мы

также имеем $\boxed{J_i \nabla_2 = a_i \nabla_2}$ заключаем

$$\boxed{P_\alpha \nabla_3 = C \nabla_2} \quad | - \text{идеалитет } P_\alpha \quad (38a)$$

вопреки в ∇_3 одномерное подмногообразие.

Чи, эквивалентно

(10)

$$P_\alpha V_\beta = \delta_{\alpha\beta} V_\alpha (\text{на } V_\beta) \quad (386)$$

То есть идеалитетор P_α бегут седе так же при действии на V_β , как бегут седе диагональные матричные единицы $E_{\alpha\alpha} \in \text{End}(V_\beta)$, и соотношения для них такие же — см. (36), формулированные в красных рамках.

Конструируя то же самое и идеалитеторов P_α , $\alpha=t_\lambda$, $\lambda \in \mathbb{N}$ продолжается индукцией по n . В качестве примера приведем то же самое и идеалитетор на уровне

$$\underline{H_4(q)} := \underbrace{V_1 \oplus V_2 \oplus V_3 \oplus V_4 \oplus V_5}_{\text{то же}}$$

$$\begin{array}{c|ccc} 1 & 2 & 3 & * \\ \hline * & & & \end{array} : P_{\begin{array}{c|ccc} 1 & 2 & 3 & * \\ \hline * & & & \end{array}} (J_4 - q^6)(J_4 - q^{-2}) = 0 \quad \text{то же}$$

$$\begin{array}{c|cc} 1 & 2 & 3 \\ \hline * & & \end{array} : P_{\begin{array}{c|cc} 1 & 2 & 3 \\ \hline * & & \end{array}} (J_4 - q^2)(J_4 - q^{-6}) = 0 \quad (\text{на } V_4)$$

$$\begin{array}{c|cc} 1 & 2 & * \\ \hline 3 & * & \end{array} : P_{\begin{array}{c|cc} 1 & 2 & * \\ \hline 3 & * & \end{array}} (J_4 - q^4)(J_4 - 1)(J_4 - q^{-4}) = 0$$

$$\begin{array}{c|cc} 1 & 3 & * \\ \hline 2 & * & \end{array} : P_{\begin{array}{c|cc} 1 & 3 & * \\ \hline 2 & * & \end{array}} (J_4 - q^4)(J_4 - 1)(J_4 - q^{-4}) = 0$$

$$P_{\begin{array}{c|ccc} 1 & 2 & 3 & 4 \\ \hline * & & & \end{array}} := P_{\begin{array}{c|ccc} 1 & 2 & 3 & * \\ \hline * & & & \end{array}} \cdot \frac{(J_4 - q^{-2})}{q^6 - q^{-2}}; \quad \text{идеалитетор}$$

при условии $q^8 \neq 0$
(а также $q^6 \neq 1, q^4 \neq 1$)

$$P_{\begin{array}{c|ccc} 1 & 2 & 3 & * \\ \hline 4 & & & \end{array}} := P_{\begin{array}{c|ccc} 1 & 2 & 3 & * \\ \hline * & & & \end{array}} \cdot \frac{(J_4 - q^6)}{(q^{-2} - q^6)}; \quad P_{\begin{array}{c|cc} 1 & 2 & * \\ \hline 3 & 4 & \end{array}} := P_{\begin{array}{c|cc} 1 & 2 & * \\ \hline 3 & 4 & \end{array}} \cdot \frac{(J_4 - q^4)(J_4 - q^{-4})}{(1 - q^4)(1 - q^{-4})};$$

$$P_{\begin{array}{c|cc} 1 & 2 & 4 \\ \hline 3 & * & \end{array}} := P_{\begin{array}{c|cc} 1 & 2 & * \\ \hline 3 & * & \end{array}} \cdot \frac{(J_4 - 1)(J_4 - q^{-4})}{(q^4 - 1)(q^4 - q^{-4})}; \quad P_{\begin{array}{c|cc} 1 & 2 & * \\ \hline 3 & 4 & \end{array}} := P_{\begin{array}{c|cc} 1 & 2 & * \\ \hline 3 & 4 & \end{array}} \cdot \frac{(J_4 - q^4)(J_4 - 1)}{(q^{-4} - q^4)(q^{-4} - 1)} \quad \text{и т.д.}$$

Действие этих идеалов генераторов на V_4 совпадает с действием диагональных матричных единиц:

где $\alpha_\beta = t_\lambda$, где $\lambda \in \{\square, \blacksquare, \square\bar{\square}, \bar{\square}\bar{\square}, \square\square, \bar{\square}\bar{\square}\bar{\square}\}$, т.е. $\lambda \vdash 4$:

$$P_\lambda P_\beta = \delta_{\alpha_\beta} P_\lambda, \sum_\lambda P_\lambda = 1$$

(на V_4)

$$P_\lambda V_\beta = \delta_{\alpha_\beta} V_\lambda \quad (\text{на } E_{\lambda\lambda})$$

Сформулируем результат для произвольного n :

Теорема 1: Пусть $q \neq \pm 1$, $q^{2n} \neq 1$ и $k: |k| \leq n$.

Рассмотрим представление $V_n := \bigoplus_{\lambda \vdash n} V_\lambda$ алгебры $H_n(q)$.

(a) Для элементов J_n можно написать набор табличек (или действий на V_n), элементы которого измеряются стандартными таблицами $t_{n,k}$, отвечающими диаграммам $\Omega_{n,k}$ из V_{n-1} :

$$P_{t_{n,k}} \prod_{c \in \Omega_{n,k}} (J_n - a(c)) = 0 \quad (\text{на } V_n) \quad (39)$$

где $\{c\}$ — набор всех позиций, на которых в диаграмме Ω_{n-1} можно поставить клетку \square , а $a(c)$ — содержание клетки \square в позиции c . На картинке:



позиции набора $\{c\}$

Эквивалентная формулировка

(8) Для каждой стандартной таблицы t_λ , $\lambda \vdash n$ можно построить элемент

$$P_{t_\lambda} = P_{t_\lambda} \prod_{\substack{c \in \Omega \\ c \neq c_0}} \frac{(J_n - a(c))}{(a(c_0) - a(c))} \quad (40)$$

(40)

Здесь $\lambda^{t(n-1)}$, λ^t , а стандартная таблица

$t_{\lambda'}$ получена из t_{λ} удалением клетки \square ;

$\{c\}$ -набор всех позиций, на которые можно поместить клетку \square в квадратике $\lambda^{t(n-1)}$; $a(c)$ -содержание этих позиций; c_0 -позиция, на которой стоит \square в t_{λ} .

Элемент P_{α} , $\alpha \in \{t_{\lambda}, \lambda^{t(n)}\}$ при действии на V_n выполняет роль диагональных матричных единиц $E_{\alpha\alpha}$

$$P_{\alpha} P_{\beta} = \delta_{\alpha\beta} P_{\alpha}; \sum_{\alpha} P_{\alpha} = 1; P_{\alpha} V_{\beta} = \delta_{\alpha\beta} V_{\alpha} \quad (\text{на } V_n) \quad (41)$$

Rem Если удаляется b (3g) от заселенных, присутствующих в определении $P_{t_{\lambda}}$, то получившиеся ненекомпактные тонгеты для $T_i, i=1\dots n$, вернут в альфа $H_n(q)$ без ограничений на параметр $q \in \mathbb{C} \setminus \{0\}$.

Завершено построение элементов $H_n(q)$, образов которых действуют в V_n как недиагональные матричные единицы $E_{\alpha\beta}$:

$$E_{\alpha\beta} V_{\gamma} = \delta_{\beta\gamma} V_{\alpha}.$$

Здесь α, β - стандартные таблицы, отвечающие одной и той же диаграмме $\lambda^{t(n)}$; γ - любая стандартная таблица из множества $\{t_{\mu}, \mu \neq t(n)\}$.

Рассмотрим элемент $g_i(l_a) P_{\beta}$, где

l_a - длина крюка между клетками \square и \square_{i+1} в стандартной таблице β :

$$\beta = \begin{array}{c} l_a \\ \rightarrow \\ \square_{i+1} \\ \square_i \end{array}, \quad \frac{a_{i+1}}{a_i} = q^{2l_a}.$$

Возмущение действие этого элемента на базисных векторах V_n :

$$g_i(l_a) P_\beta V_\gamma = \delta_{\beta\gamma} g_i(l_a) V_\beta \stackrel{(31a)}{=} \frac{[l_a+1]_q}{[l_a]_q} \delta_{\beta\gamma} V_{\sigma;0\beta}$$

Итак

$$\boxed{\frac{[l_a]_q}{[l_a+1]_q} g_i(l_a) P_\beta \leftrightarrow E_{\sigma;0\beta, \beta} \text{ (на } V_n\text{)}} \quad (42a)$$

негуар. матр. единица.

Есть и другое выражение для матричной единицы $E_{\sigma;0\beta, \beta}$:

Возмущение действия $P_{\sigma;0\beta} g_i(-l_a)$ на базисных векторах

V_n :

$$\begin{aligned} \text{на } V_\beta \\ P_{\sigma;0\beta} g_i(-l_a) V_\beta &= P_{\sigma;0\beta} \left\{ g_i(l_a) - \underbrace{\frac{q^{l_a}}{[l_a]_q} + \frac{\bar{q}^{-l_a}}{[l_a]_q}}_{-(q-q')} \right\} V_\beta = \\ &\stackrel{(31a)}{=} P_{\sigma;0\beta} \frac{[l_a+1]_q}{[l_a]_q} V_{\sigma;0\beta} - (q-q') \underbrace{P_{\sigma;0\beta} V_\beta}_{0''} = \frac{[l_a+1]_q}{[l_a]_q} V_{\sigma;0\beta} \end{aligned}$$

на $V_{\sigma;0\beta}$

$$P_{\sigma;0\beta} g_i(-l_a) V_{\sigma;0\beta} \stackrel{(31b)}{=} \frac{[l_a-1]_q}{[l_a]_q} P_{\sigma;0\beta} V_\beta = 0$$

на $V_\gamma (\gamma \neq \beta, \sigma;0\beta)$

гипотеза кратности $\square \rightarrow \square \square$ в таблице X

$$\begin{aligned} P_{\sigma;0\beta} g_i(-l_a) V_\gamma &= P_{\sigma;0\beta} (g_i(l_\gamma) + \text{const.} \cdot 1) V_\gamma = \\ &= P_{\sigma;0\beta} (\text{const}_1 V_{\sigma;0\gamma} + \text{const}_2 V_\gamma) = 0 \end{aligned}$$

Итак, снова нульрезультат:

$$\boxed{\frac{[l_a]_q}{[l_a+1]_q} P_{\sigma;0\beta} g_i(-l_a) \leftrightarrow E_{\sigma;0\beta, \beta} \text{ (на } V_n\text{)}} \quad (42b)$$

Теперь все готово доказать основной результат:

Теорема 2

В условиях Теоремы 1

- * отображение $H_n(q) \rightarrow \bigoplus_{\lambda \vdash n} \text{End}(V_\lambda)$, где V_λ , $\lambda \vdash n$, — любая из компонент $V_n = \bigoplus_{\lambda \vdash n} V_\lambda$, является изоморфизмом
- * отображение $H_n(q) \rightarrow \bigoplus_{\lambda \vdash n} \text{End}(V_\lambda)$ является изоморфизмом n , значит, представление V_n — точно
- * соотношения (39), (41) из Теоремы 1, а также равенства

$$\begin{aligned} g_i(l_a) P_\alpha &= P_{\sigma_i(\alpha)} g_i(-l_a), \text{ если } l_a \neq \pm 1 \\ g_i(\pm 1) P_\alpha &= P_\alpha g_i(\pm 1) = 0, \text{ если } l_a = \pm 1, \\ \text{где } l_a &- \text{длина края между клетками } \boxed{i} \text{ и } \boxed{i+1} \text{ в } \alpha. \end{aligned} \quad (43)$$

выводится в академии $H_n(q)$

Формулы (40) и (43) порождают явную реализацию изоморфизма

$$H_n(q) \cong \bigoplus_{\lambda \vdash n} \text{End}(V_\lambda)$$

- * Четвертый факт, сформулированное в § 1 относительно алгебры Гекке $H_n(q)$ верно.

реализует изоморфизм

$$P_\alpha \leftrightarrow E_{\alpha}, \quad \frac{[l_a]_q}{[l_a+1]_q} g_i(l_a) P_\alpha = \frac{[l_a]_q}{[l_a+1]_q} P_{\sigma_i(\alpha)} g_i(-l_a) \xrightarrow{E_{\sigma_i(\alpha)}} E_{\sigma_i(\alpha)}$$

Dok - bo:

По первому пункту: Мог наклонил преобразование в $H_n(q)$ где диагональных матричных единиц $E_{\lambda \lambda} \in \text{End}(V_\lambda)$ и где некоторых недиагональных $E_{\lambda, \sigma(\lambda)}$. Так как можно пару стандартных таблиц одной строчки можно сводить последовательностью перестановок клеток с соседними номерами (i и $i+1$), то построенные матричные единицы порождают все остальные матричные единицы $E_{\lambda \beta}$. Однозначность определения $E_{\lambda \beta}$ по его действию в базисе $\{v_\beta\}$ гарантирует, что сюръекция $H_n(q) \rightarrow \text{End}(V_\lambda)$ является эпиморфизмом алгебр.

В качестве упражнения можно проверить, что соответствие $E_{\lambda, \sigma(\lambda)} E_{\sigma(\lambda), \lambda} = E_{\lambda \lambda}$ слеует из (43) и (41).

По второму пункту.

Известный комбинаторный результат: алгоритм Робинсона-Шенстеда (Robinson-Schensted correspondence) устанавливает взаимно-однозначное соответствие между элементами симметрической группы S_n и базисом, мажущим пары стандартных таблиц для одной и той же строчки. Отсюда следует равенство

$$\boxed{\sum_{\lambda \vdash n} \dim(\text{End}(V_\lambda)) = \sum_{\lambda \vdash n} (\dim V_\lambda)^2 = \# S_n = n!}$$

Следствие первого пункта: $\dim H_n(q) \geq \sum_{\lambda \vdash n} \dim(\text{End}(V_\lambda)) = n!$

После мы покажем $\dim H_n(q) \leq n!$. Следовательно

$\dim H_n(q) = \sum_{\lambda \vdash n} \dim \text{End}(V_\lambda) = n!$ — имеем нужное.

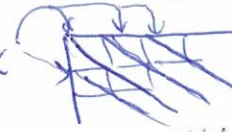
Формула третьего пункта явно отвечает оговоркам (42 а, б), (39), (41) и тогости представления V_n

из фрагмов об ампл. Гекке $H_n(q)$, приведенных в §1, первое три уже доказаны (в чётных пунктах этой теоремы и в последней утверждении Теоремы 1 из 1-й части записок).

Остаётся убедиться в справедливости того, что $Z(H_n(q))$ совпадает с $\text{Span}(J_1 \dots J_n)$. Рассуждение аналогично доказательству пункта а) Утв. 4 из 1-й части записок.

Центр $\bigoplus_{\lambda \in \Lambda} \text{End}(V_\lambda)$ имеет линейной базис, состоящий из единичных операторов в каждой из пространств V_λ : $Z\left(\bigoplus_{\lambda \in \Lambda} \text{End}(V_\lambda)\right) = \text{Span}(\text{Id}_{V_\lambda}, \lambda)$.

Эти единичные операторы Id_{V_λ} "различают" пространства неприводимых представлений V_λ .

Но, как я это убедился в док-ве а) Утв 4 из 1-й части записок, симметрические полиномы от $a_i, i=1 \dots n$, различают стандартное базисное разбиение λ (если только содержание клеток, стоящих на разных диагоналях в таблице в таблице в базисе V_λ различны, а это следует из наших ограничений на q). 

$a_i \rightarrow$ собственное значение J_i , значит они же. полиномы J_i различают пространства $V_\lambda \Rightarrow$ они составляют весь центр 

Практический пример: как с помощью формулы (31a, b) спроектировать явное представление.

Формула (31a, b):

$$\left\{ \begin{array}{l} g_i(l_a) v_\alpha = \frac{[l_a+1]_q}{[l_a]_q} v_{\sigma_i \alpha} \\ g_i(-l_a) v_{\sigma_i \alpha} = \frac{[l_a-1]_q}{[l_a]_q} v_\alpha \end{array} \right. \quad \begin{array}{l} l_a - \text{глубина края} \\ \text{матрицы } [l_a]_q \text{ и } l_a \neq \pm 1 \\ l_a \neq \pm 1 \end{array}$$

Перенесем в базу:

$$\left\{ \begin{array}{l} g_i v_\alpha = \frac{q^{l_a}}{[l_a]_q} v_{\text{alpha}} + \frac{[l_a+1]_q}{[l_a]_q} v_{\sigma_i \alpha} \\ g_i v_{\sigma_i \alpha} = -\frac{q^{-l_a}}{[l_a]_q} v_{\text{alpha}} + \frac{[l_a-1]_q}{[l_a]_q} v_\alpha \end{array} \right. \quad l_a \neq \pm 1$$

Добавим к этим формулам из Теоремы 1 1-й разряд заменок:

$$g_i v_\alpha = \pm q^{\pm 1} v_\alpha, \text{ если } l_a = \pm 1 \quad (44b)$$

Формулы (44a, b) задают действие артиковых генераторов $H_q(q)$ в представлениях V_λ , $\lambda \vdash n$. Отметим, что матрица $H_q(q)$ в базисе $\{v_\alpha\}$ состоит из 2×2 и 1×1 блоков, не более.

Пример: $V_{\begin{smallmatrix} 1 & 1 & 1 \\ 1 & 1 & 1 \end{smallmatrix}}$ — трехмерное представление $H_4(q)$

Базис $\{v_{\overline{123}}, v_{\overline{124}}, v_{\overline{134}}\}$. Матрица g_1, g_2, g_3 :

$$g_1 \mapsto \begin{pmatrix} q & & \\ & q & \\ & & -\frac{1}{q} \end{pmatrix}, g_2 \mapsto \begin{pmatrix} q & & & \\ & -\frac{q^2}{[2]_q} & \frac{[3]}{[2]_q} & \\ & \frac{1}{[2]_q} & \frac{q^2}{[2]_q} & \\ & & & \end{pmatrix}, g_3 \mapsto \begin{pmatrix} -\frac{q^3}{[3]_q} & \frac{[4]}{[3]_q} & & \\ \frac{[2]}{[3]_q} & \frac{q^3}{[3]_q} & & \\ & & \ddots & \\ & & & q \end{pmatrix}$$

$$g_2 v_{\overline{124}} = -\frac{q^{-2}}{[2]_q} v_{\overline{124}} + \frac{1}{[2]_q} v_{\overline{134}}$$

Rem: В куадрате $q \rightarrow 1$ мы представляем $\text{H}_n(q)$ полугруппу представлений S_n .

В примере $V \oplus$ мы имеем $(g_i \xrightarrow{q \rightarrow 1} \sigma_i)$.

$$\sigma_1 \mapsto \begin{pmatrix} 1 & & & \\ & 1 & & \\ & & 1 & \\ & & & -1 \end{pmatrix}, \quad \sigma_2 \mapsto \begin{pmatrix} 1 & & & \\ & -\frac{1}{2} & \frac{3}{2} & \\ & \frac{1}{2} & \frac{1}{2} & \\ & & & 1 \end{pmatrix}, \quad \sigma_3 \mapsto \begin{pmatrix} -\frac{1}{3} & \frac{4}{3} & & \\ \frac{2}{3} & \frac{1}{3} & & \\ & & 1 & \\ & & & 1 \end{pmatrix}$$

Заметим, что в бордансии дается представление S_n ограниченное не только над \mathbb{C} , но и над полем \mathbb{R} и \mathbb{Q} .

§4

Другие конечные/коконечныефакторы в $B_3/\mathbb{C}[B_3]$.

(19)

Рассмотрим B_3 . Для получения конечной фактор-группы в ней можно налаговать следующее усло-
вия соотношений на артиковых генераторов

$$\boxed{d_1^p = 1, \quad p = 2, 3, 4, 5, \dots} \quad (1)$$

При $p=6$ фактор-группа становится бесконечной.

Однако следующий после $p=2$ (т.е. S_3) случай: $p=3$.

Фактор-группа $\boxed{BT_3 = B_3 / \langle B^3 \rangle}$ — группа порядка 24, называемая двойной группой тетраэдра (binary tetra-
hedral group). Она имеет центр порядка 2.

Фактор-группа $\boxed{BT_3 / \mathbb{Z}(T_3) \cong A_4}$ — подгруппа чет-
ных перестановок в S_4 . Её порядок — 12. A_4 — группа
симметрий тетраэдра (отсюда происходит название BT_3)
и также изоморфна группе SLF(2, 3) — группе
 2×2 матриц с $\det = 1$ и компонентами из поле
 F_3 ($\text{char } F_3 = 3$).

Эти сведениячеркнуто в
книге Коксетер, Мозер

"Порождающие элементы и определя-
ющие соотношения дискретных групп"
Москва "Наука", 1980.

Перейдем в $\mathbb{C}[B_3]$ и "продифференцируем" соотно-
шения (1) следующим образом:

$$(b_1 - u^2\lambda)(b_1 - v^2\lambda)(b_1 - w^2\lambda) = 0$$

(2)

(20)

где $u, v, w \in \mathbb{C} \setminus \{0\}$ и некарто различны.

Фактор-алгебра $\mathbb{C}[B_3]/\langle(2)\rangle$ имеет размерность 24 и в случае общего положения её параметров она изоморфна $\mathbb{C}[BT_3]$.

В её коммутативной подалгебре Юисса-Морри, порождаемой $J_2 \cup J_3$, выполняются соотношения:

$$(J_2 - u^2\lambda)(J_2 - v^2\lambda)(J_2 - w^2\lambda) = 0 \quad (3a)$$

и 3 соотношения с участием J_3 :

$$(J_2 - u^2\lambda)(J_2 - v^2\lambda)(J_3 - u^2v^2\lambda)(J_3 - w^4\lambda)(J_3 + u^3w\lambda)(J_3 + v^3w\lambda) = 0 \quad (3b)$$

и еще 2 соотношения, получающиеся из (3b) циклической перестановкой $\begin{smallmatrix} u & \rightarrow & v \\ w & \rightarrow & w \end{smallmatrix}$.

(3a) очевидно следует из (2). Простого论证а (3b) мне неизвестно: получено приложением с расположением любой части (3b) по линейному базису в $\mathbb{C}[B_3]/\langle(2)\rangle$, надо проверять (3b) в существах неприводимых представлениях алгебра.

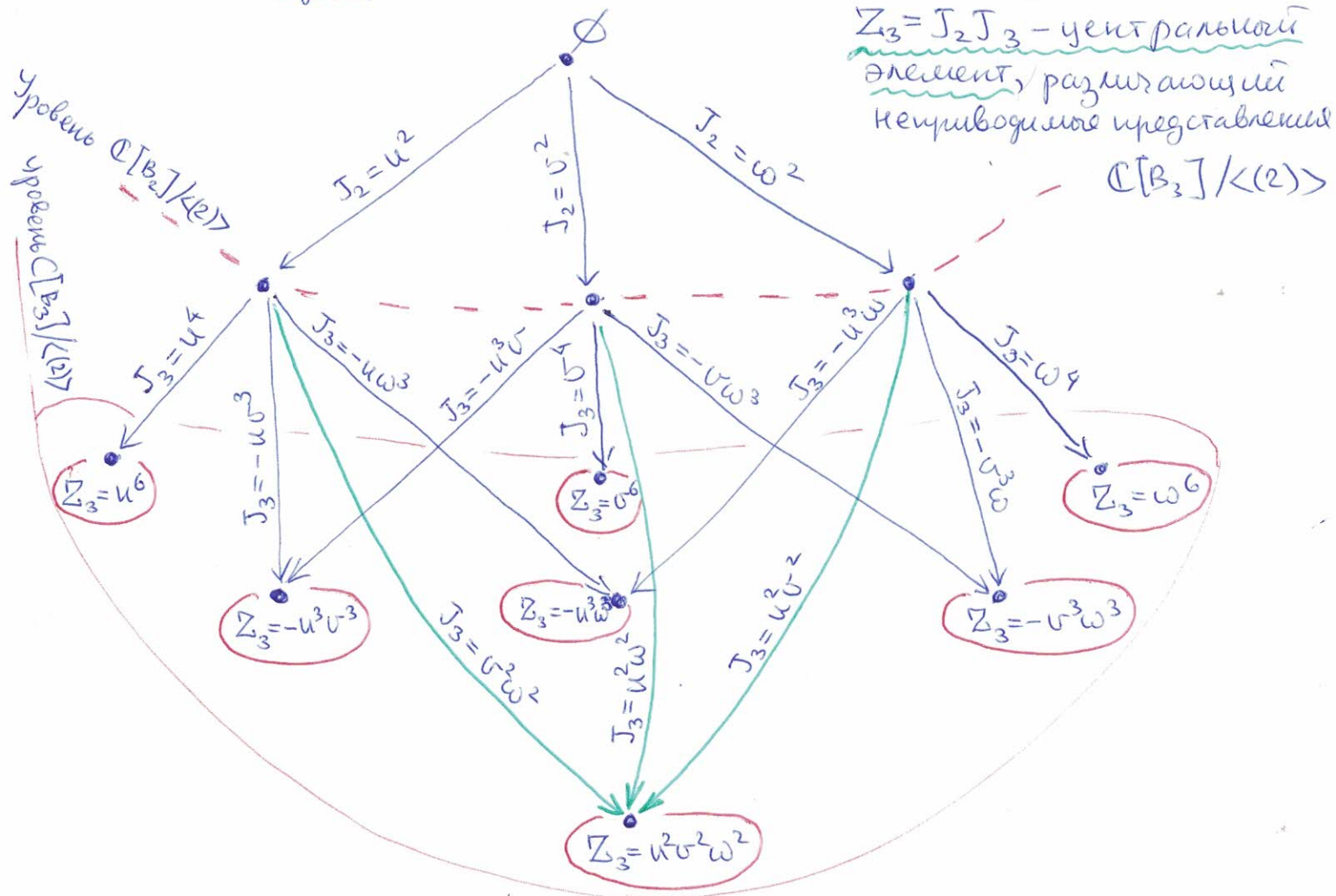
Соотношение (3b) замечательно тем, что левая его часть имеет простые выражения для симметрии J_3 в терминах u, v, w .

Из (3b) можно восстановить градуировку ветвей $\mathbb{C}[B_3]/\langle(2)\rangle$

Граф ветвления $\mathbb{P}[B_3]/\langle(2)\rangle$:

$Z_3 = J_2 J_3$ - центральный элемент, разлагающий неприводимое представление

$\mathbb{P}[B_3]/\langle(2)\rangle$



Вершины графа отвечают неприводимым представлениям алгебр $\mathbb{P}[B_i]/\langle(2)\rangle$, $i=2,3$, в конечных вершинах, отвечающих $\mathbb{P}[B_3]/\langle(2)\rangle$ указано значение центрального элемента $Z_3 = J_2 \cdot J_3$. Пути из вершины ϕ в вершину заданного неприводимого представления маркируют базисное базисное представление. Значения J_2 и J_3 на базисном базисе указываются на ребрах путей.

Как и должно быть: $24 = 3^2 + 3 \cdot 2^2 + 3 \cdot 1^2$. — у алгебры $\mathbb{P}[B_3]/\langle(2)\rangle$ в её "нормированном" представлении есть одно 3-мерное, три 2-мерных и три 1-мерных неприводимых представления. 1-мерное и 2-мерное представ-

Лесные изоморфии Тейл, это то же что и узлы
для алгебра Генке H_3 . Интересно 3-мерное
представление.

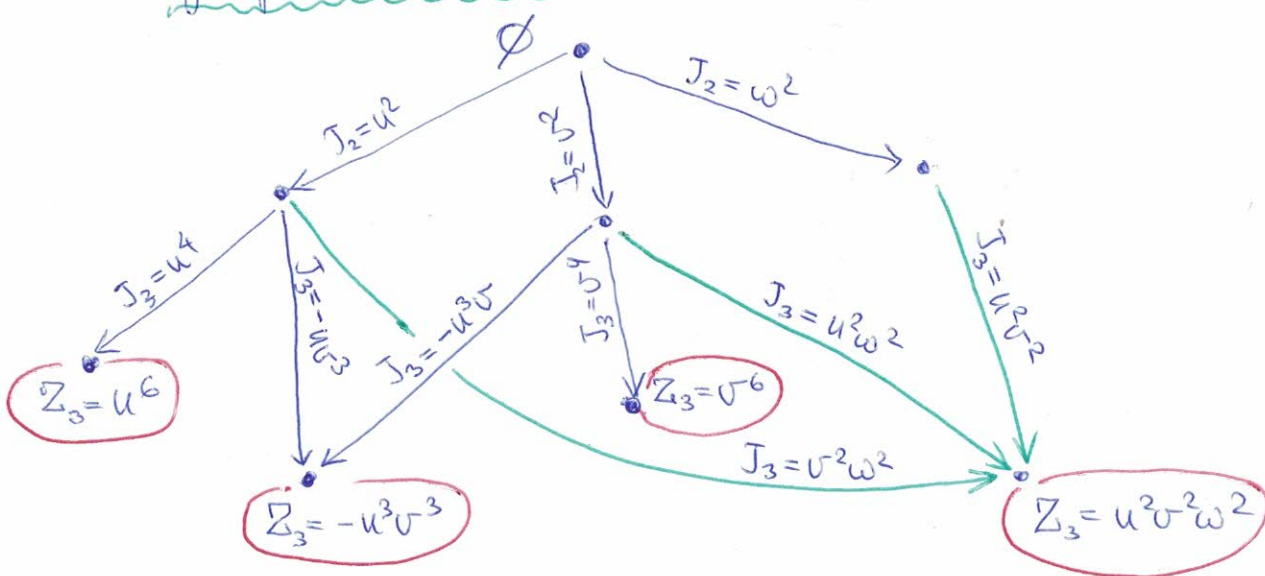
При рассмотрении фактор-алгебра $\mathbb{C}[B_n]/\langle(2)\rangle$
оказывается, что для $n=2,3,4,5$ они конечномерные,
а начиная с $n=6$ становится ∞ -мерными.

Для получения конечномерных фактор-алгебра $\mathbb{C}[B_n]$
при $n \geq 6$, помимо (2) наложит еще "условие"
на J_2 и J_3 , усиливющее (3б). Хороший вариант
услаждения:

$$(J_2 - u^2 \mathbb{1})(J_2 - v^2 \mathbb{1})(J_3 - u^2 v^2 \mathbb{1}) = 0 \quad (4)$$

которое сохраняет интересное 3-мерное представление,
т.к. он сохраняет нуль в графе ветвлений $\mathbb{C}[B_3]/\langle(2)\rangle$ из
вершины $J_2 = \omega^2$ в вершину $Z_3 = u^2 v^2 \omega^2$ ($c J_3 = u^2 v^2$ на ребре),
и "удваивает" все другие пути из этой вершины.

Граф ветвлений $\mathbb{C}[B_3]/\langle(2), (4)\rangle$



Алгебра $\mathbb{C}[B_3]/\langle(2),(4)\rangle$ имеет размерность

$$3^2 + 2^2 + 2 \cdot 1^2 = 15 = 5!!$$

Подграф ее графа ветвления, содержащий только 1- и 2-мерные представления (два первых сиренев.) —
граф ветвления $H_3(q)$.

С увеличением n : $\dim \mathbb{C}[B_n]/\langle(2),(4)\rangle = (2n-1)!!$

Эта алгебра называется алгеброй Бирнбаум-Мурзакади —

Венская: $BMW_n := \mathbb{C}[B_n]/\langle(2),(4)\rangle$

Условие (4) в этой алгебре нарушает симметрию соб-

ственных значений u, v, ω генератора b_1 и ворежет

проекtor с $b_1 = \omega$ или $J_2 = \omega^2$. Проведем традиционное

перемасштабирование и переобозначение собственных

значений J_2 :

$$u \mapsto q, \quad v \mapsto -q^{-1}, \quad \omega \mapsto \mu$$

и введем специальное обозначение μ для проектора

с собственным значением $J_2 = \omega^2 = \mu^2$ (т.е. собст. значение

$b_1 = \mu$):

$$K_1 = -\frac{(b_1 - q)(b_1 + q^{-1})}{\mu(q - q^{-1})} \quad (5)$$

K_1 — не нормирован; в силу (2) имеем:

$$\boxed{K_1 b_1 = b_1 K_1 = \mu K_1, \quad K_1^2 = \gamma K_1, \quad \gamma := \frac{(q-\mu)(\frac{1}{q}+\mu)}{\mu(q-q^{-1})}} \quad (6a)$$

Алгебра $\text{BMW}_n(q, \mu)$, удобно описывать в терминах (24) набора генераторов b_i, K_i , $i=1, 2, \dots, n-1$, удовлетворяющих, помимо артиковых соотношений на b_i в BV_n еще условием факторизации (2) ($c = q, v = -q'$, $\omega = \mu$) и следующим из него соотношениям (6a), а также следующим из (4) соотношениям

$$b_i b_{i\pm 1} K_i = K_{i\pm 1} K_i$$

$$K_i b_{i\pm 1} b_i = K_i K_{i\pm 1}$$

$$K_i K_{i\pm 1} K_i = K_i$$

$$K_i b_{i\pm 1}^\epsilon K_i = \mu^{-\epsilon} K_i, \quad \epsilon = \pm 1$$

$$b'_i K_{i+1} b'_i = b'_{i+1} K_i b'_{i+1}, \text{ где } b'_i := b_i - (q - q') \mathbb{1}$$

Видя (6b) из (4) не просто, но (6b) удобнее приспособлено для изучения алгебра

Отметим очевидное: $\text{BMW}_n(q, \mu) / \langle K_i \rangle = \text{Hu}(q)$.

В пределе $q \rightarrow 1$ при видоре $\mu = \pm q^i$ алгебра BMW_n переходит в известное алгебра Брауэра (R. Brauer), которое было введенено для исследований неприводимых представлений ортогональной и симплектической групп O_n , также как симплектические группы Sp_n использует для изучения неприводимых представлений линейных групп $\text{GL}(n)$ и $\text{SL}(n)$.

Генераторы K_i в алгебрах Брауэра и BMW_n имеют отношение к инвариантному скалярному произведению в ортогональной и симплектической группах.